



Centro de Instrução Almirante Wandenkolk - CIAW Instituto Tecnológico de Aeronáutica - ITA



Curso de Aperfeiçoamento Avançado em Sistemas de Armas



SAB: Simulação e Controle de Artefatos Bélicos
Simulações Balísticas em 3DoF



Jozias **Del Rios** Cap Eng



delriosjdrvgs@fab.mil.br



(12) 98177-9921

Abril 2018



AA-811

SIMULAÇÃO E CONTROLE
DE ARTEFATOS BÉLICOS

Simulações Balísticas 3DOF

Instrutor: 1º Ten Eng Jozias **DEL RIOS**

Autor do Material: Jozias **DEL RIOS** – rev. 07.jul.2016

OBJETIVO

Implementaremos **simulações balísticas**
de **armamento aéreo**
simplificadas em 3 graus de liberdade (plano vertical)
para aplicar ao estudo de
envelope de fragmentação de armamento

TÓPICOS

Simulações Balísticas 3DOF

1. Simulação balística de uma BA-FG
2. Trajetória de uma aeronave lançadora
3. Envelope de fragmentação
4. ~~Simulação de uma BFA~~

MOTIVAÇÃO: SIMULAÇÃO 3DOF

Ao realizar o estudo de viabilidade de um projeto de armamento aéreo, a simulação em 3 graus de liberdade (3DOF):

{ Alcance x , Altitude h , Arfagem θ }

é a ferramenta inicial para definir os parâmetros mais básicos da especificação do armamento:

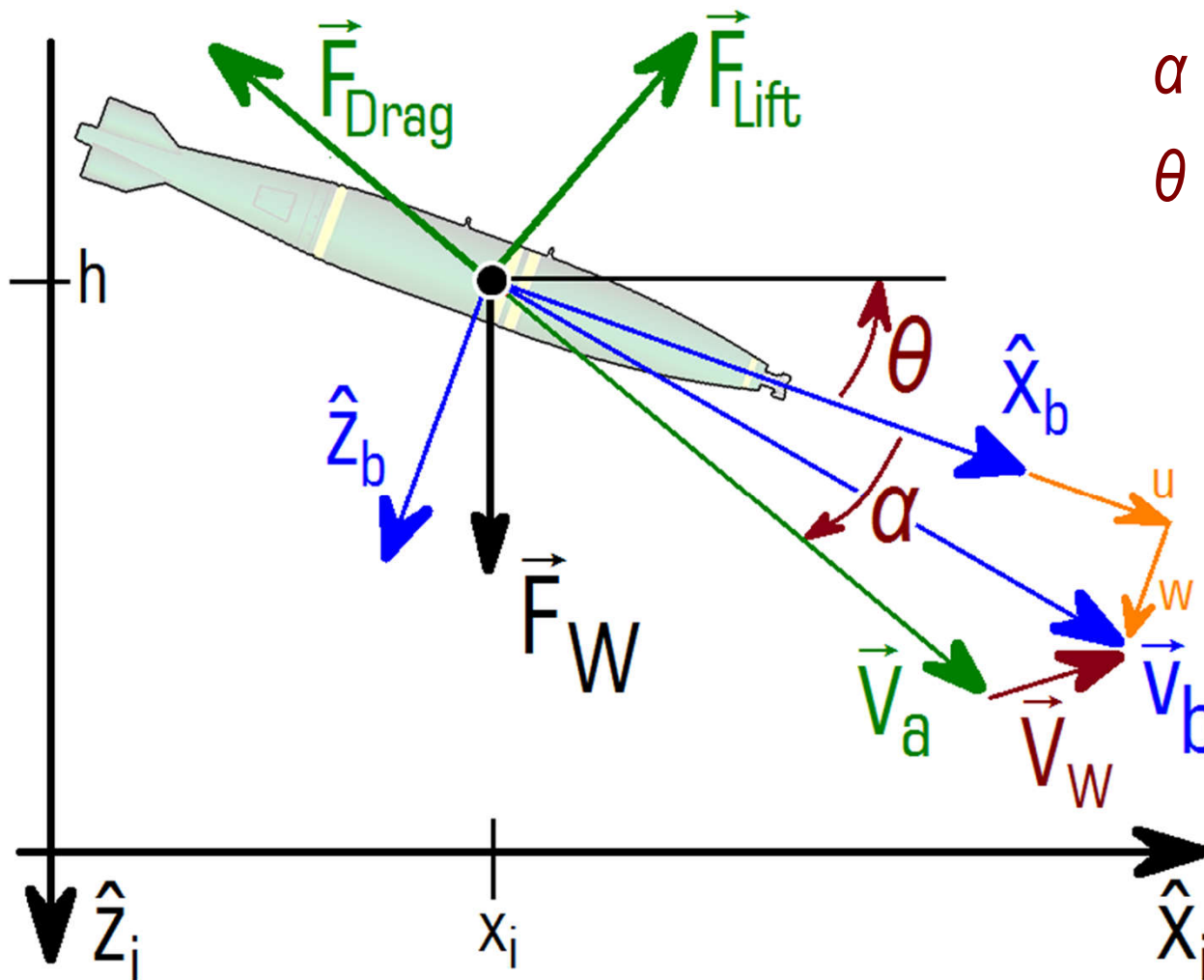
alcance cinemático, perfil de trajetória, envelopes, ...

FLATH EARTH MODEL

Premissas simplificadoras usadas em **3DOF**:

- A superfície da Terra é **localmente plana**
- Referencial ESF deste plano é **inercial**
- **Gravidade constante** e na direção do eixo z
 - Força Coriolis desprezada, latitude 45°
- **Atmosfera** varia somente com altitude
- Veículo sempre **simétrico** no plano vertical
- Forças atuam nesse **plano vertical** no CM

REFERENCIAIS NO PLANO VERTICAL



No desenho:

α = ângulo de ataque > 0

θ = ângulo de arfagem < 0

$$\vec{p}_{b/i}^i = [x \quad 0 \quad z]^T$$

$$z = -h$$

$$\vec{v}_{b/i}^b = [u \quad 0 \quad w]^T$$

$$\vec{v}_a = \vec{v}_b - \vec{v}_w$$

$$\dot{\theta} = q$$

CONVERSÃO DE REFERENCIAIS

$$\begin{cases} \hat{x}_b = +\hat{x}_i \cos \theta - \hat{z}_i \operatorname{sen} \theta \\ \hat{z}_b = +\hat{x}_i \operatorname{sen} \theta + \hat{z}_i \cos \theta \end{cases} \quad \begin{cases} \hat{x}_i = +\hat{x}_b \cos \theta + \hat{z}_b \operatorname{sen} \theta \\ \hat{z}_i = -\hat{x}_b \operatorname{sen} \theta + \hat{z}_b \cos \theta \end{cases}$$

$$\begin{cases} \hat{x}_a = +\hat{x}_b \cos \alpha - \hat{z}_b \operatorname{sen} \alpha \\ \hat{z}_a = +\hat{x}_b \operatorname{sen} \alpha + \hat{z}_b \cos \alpha \end{cases}$$

$$\begin{cases} C_A = -C_D \cos \alpha + C_L \operatorname{sen} \alpha \\ C_N = -C_D \operatorname{sen} \alpha - C_L \cos \alpha \end{cases}$$

AA-811 – Simulação e Controle de Artefatos Bélicos

Simulações Balísticas 3DOF

EQUAÇÕES de EULER em 3DOF

Massa: m (constante para bombas)

Posição: $\vec{p}_{b/i}^i = \begin{bmatrix} x & \cancel{y} & z \end{bmatrix}^T$

Vel. Linear: $\vec{v}_{b/i}^b = \begin{bmatrix} u & \cancel{v} & w \end{bmatrix}^T$

Orientação: $(\cancel{\psi}, \theta, \cancel{\phi})$

Vel. Angular: $\vec{\omega}_{b/i}^b = \begin{bmatrix} \cancel{p} & q & \cancel{r} \end{bmatrix}^T$

Momento de Inércia: $J^{b,cm} = \begin{bmatrix} \cancel{J_{xx}^{b,cm}} & 0 & 0 \\ 0 & J_{yy}^{b,cm} & 0 \\ 0 & 0 & \cancel{J_{zz}^{b,cm}} \end{bmatrix}$

EQ. de EULER em 3DOF – VELOCIDADE LINEAR

$$D_i \left(\vec{p}_{c/i}^i \right) = R_{c/i}^T \vec{v}_{c/i}^c$$

$$\begin{bmatrix} \dot{x} \\ \cancel{\dot{y}} \\ \dot{z} \end{bmatrix} = \begin{bmatrix} \cos \theta & \text{sen } \theta & \text{sen } \theta \\ \cos \theta & \text{sen } \theta & \text{sen } \theta \\ -\text{sen } \theta & \cos \theta & \cos \theta \end{bmatrix} \begin{bmatrix} u \\ \cancel{v} \\ w \end{bmatrix}$$

$$\Rightarrow \begin{cases} \dot{x} = +u \cos \theta + w \text{sen } \theta \\ \dot{z} = -u \text{sen } \theta + w \cos \theta \end{cases}$$

EQ. de EULER em 3DOF – ACELERAÇÃO LINEAR

$$D_c \left(\vec{v}_{c/i}^c \right) = \frac{1}{m} \sum F - \tilde{\omega}_{c/i}^c \vec{v}_{c/i}^c$$

$$\begin{cases} \dot{u} = \frac{1}{m} \sum F_x & \cancel{+p v} - q w \\ \dot{w} = \frac{1}{m} \sum F_z & + q u \cancel{-p v} \end{cases}$$

$$\Rightarrow \begin{cases} \dot{u} = \frac{1}{m} \sum F_x - q w \\ \dot{w} = \frac{1}{m} \sum F_z + q u \end{cases}$$

EQ. de EULER em 3DOF – VELOCIDADE ANGULAR

$$\vec{\omega}_{b/i}^b = \begin{bmatrix} \cancel{p} \\ q \\ \cancel{r} \end{bmatrix} = \begin{bmatrix} \cancel{\phi} \\ 0 \\ 0 \end{bmatrix} + \underbrace{K_\phi}_{I_3} \begin{pmatrix} \begin{bmatrix} 0 \\ \dot{\theta} \\ 0 \end{bmatrix} + K_\theta \begin{bmatrix} 0 \\ 0 \\ \cancel{\psi} \end{bmatrix} \end{pmatrix}$$

$$\Rightarrow \boxed{\dot{\theta} = q}$$

Não tem singularidades

EQ. de EULER em 3DOF – ACELERAÇÃO ANGULAR

$$\vec{\alpha}_{C/i}^C = \left(J^C \right)^{-1} \left(\sum \vec{M}_{./C} - \omega_{C/i}^C \times J^C \vec{\omega}_{C/i}^C \right)$$

$$\dot{q} = J_{yy}^{-1} \left(\sum M_y + \cancel{p} \cancel{r} \left(\cancel{J_{zz}} - \cancel{J_{xx}} \right) \right)$$

$$\Rightarrow \boxed{\dot{q} = J_{yy}^{-1} \cdot \sum M_y}$$

Torques tomados no **referencial do corpo**,
com ponto de referência no **centro de massa**

FORÇAS e MOMENTOS – BALÍSTICO 3DOF

Gravidade: $\vec{F}_W = m g \hat{z}_i$

Propulsão: $\vec{F}_{\text{Thrust}} = T(t) \hat{x}_b$

Aerodinâmica:

$$\begin{aligned}\vec{F}_{\text{Aer}} &= (-\hat{x}_a) \overbrace{(q_\infty S_{\text{ref}} C_D)}^{\text{Drag}} + (-\hat{z}_a) \overbrace{(q_\infty S_{\text{ref}} C_L)}^{\text{Lift}} \\ &= (+\hat{x}_b) (q_\infty S_{\text{ref}} C_X) + (+\hat{z}_b) (q_\infty S_{\text{ref}} C_Z)\end{aligned}$$

$$\vec{M}_{\text{Aer/cm}} = \underbrace{\hat{y}_b (q_\infty S_{\text{ref}} L_{\text{ref}} C_m)}_{\vec{M}_{\text{Aer/ref}}} + \underbrace{\vec{F}_{\text{Aer}} \times \vec{p}_{\text{ref/cm}}}_{\text{Steiner}}$$

RESUMO ESCALAR: FORÇAS E MOMENTOS

Velocidade Aerodinâmica: $v_a = v_b = \sqrt{u^2 + w^2}$

Pressão Dinâmica: $q_\infty = \frac{1}{2} \rho v_a^2$

$$\left\{ \begin{array}{l} C_X = C_{X_0}(M) + q \cdot C_{Xq} \frac{L_{\text{ref}}}{2v_a} \\ C_Z = \alpha \cdot C_{Z\alpha} + q \cdot C_{Zq} \frac{L_{\text{ref}}}{2v_a} \\ C_m = \alpha \cdot C_{m\alpha} + q \cdot C_{mq} \frac{L_{\text{ref}}}{2v_a} \end{array} \right. \quad \left\{ \begin{array}{l} F_{\text{Aer},X} = q_\infty S_{\text{ref}} C_X \\ F_{\text{Aer},Z} = q_\infty S_{\text{ref}} C_Z \\ M_{\text{Aer},Y} = q_\infty S_{\text{ref}} L_{\text{ref}} C_m \\ F_{\text{Weight},X} = -mg \sin \theta \\ F_{\text{Weight},Z} = +mg \cos \theta \end{array} \right.$$

RESUMO ESCALAR: DINÂMICA e CINEMÁTICA 3DoF

$$\begin{cases} \dot{x} = +u \cos \theta + w \sin \theta \\ \dot{z} = -u \sin \theta + w \cos \theta \end{cases}$$

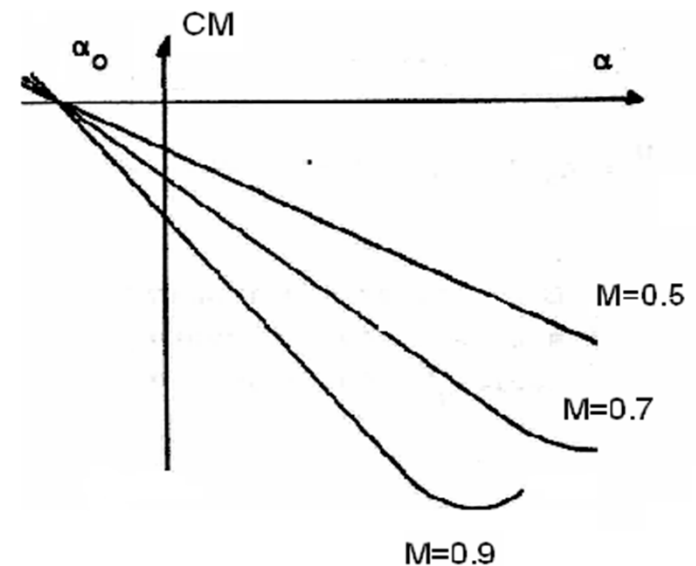
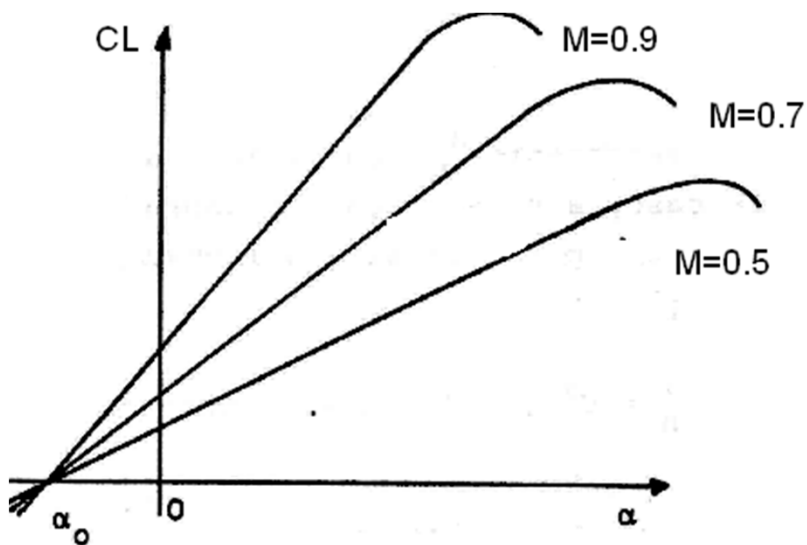
$$\begin{cases} \dot{u} = \frac{1}{m} \left(F_{\text{Aer},X} + F_{\text{Weight},X} + \cancel{F_{\text{Prop}}(t)} \right) - qw \\ \dot{w} = \frac{1}{m} \left(F_{\text{Aer},Z} + F_{\text{Weight},Z} \right) + qu \end{cases}$$

$$\dot{\theta} = q$$

$$\dot{q} = J_{yy}^{-1} \cdot \left(M_{\text{Aer},Y} + F_{\text{Aer},Z} (x_{\text{ref}} - x_{\text{cm}}) \right)$$

COEFICIENTES AERODINÂMICOS

Curvas típicas:



BAIXO ARRASTO – FINS GERAIS (BA-FG 460)

Características da bomba (aproximadas):

$$m = 490 \text{ kg}$$

$$J_{yy} = 155 \text{ kg m}^2$$

$$X_{cg} = 1.300 \text{ m}$$

$$T(t) = 0$$

$$dm/dt = 0 \text{ kg/s}$$

$$dJ_{yy}/dt = 0 \text{ kg m}^2/\text{s}$$

$$dx_{cg}/dt = 0 \text{ m/s}$$

AA-811 – Simulação e Controle de Artefatos Bélicos

Simulações Balísticas 3DOF

COEFICIENTES AERODINÂMICOS

$$S_{\text{ref}} = 0.1 \text{ m}^2$$

$$L_{\text{ref}} = 0.36 \text{ m}$$

$$X_{\text{ref}} = 1.3 \text{ m}$$

(ângulos em rad)

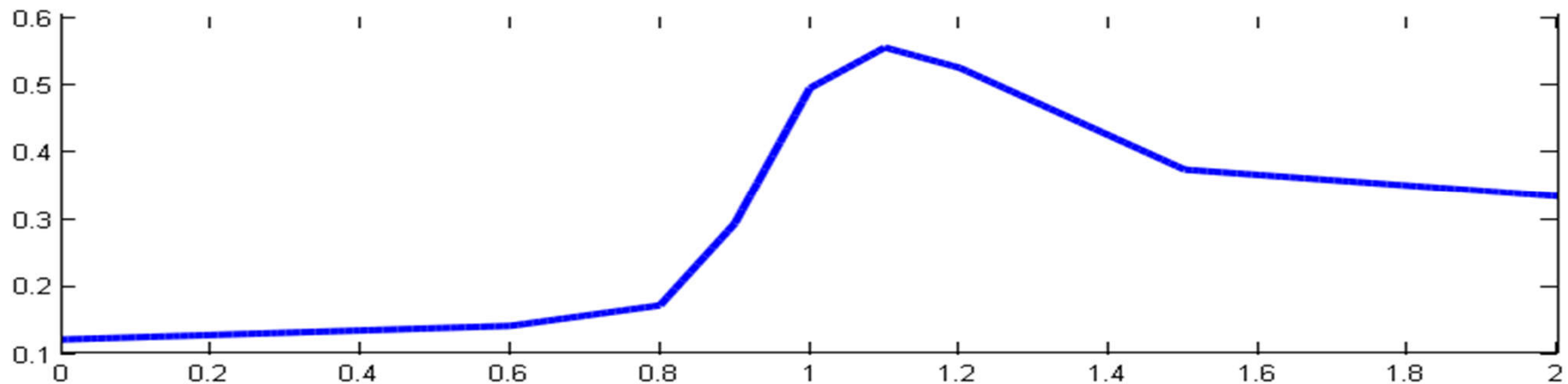
$$C_{Z\alpha} = -5.6$$

$$C_{Zq} = -42$$

$$C_{m\alpha} = -6.8$$

$$C_{mq} = -177$$

$$C_{m0} = C_{Xq} = C_{X\alpha} = 0$$



Mach	0.0	0.6	0.8	0.9	1.0	1.1	1.2	1.5	2.0
C_{X0}	-0.12	-0.14	-0.17	-0.29	-0.49	-0.55	-0.52	-0.37	-0.33

CONDIÇÕES DE SIMULAÇÃO

Condições Iniciais:

$$vx_0 = 300 \text{ knots}$$

$$vz_0 = 0 \text{ knots}$$

$$h_0 = -z_0 = 10\,000 \text{ ft}$$

$$\theta_0 = 2^\circ$$

$$q_0 = 0^\circ/\text{s}$$

Condições de Parada:

Impacto no solo:

$$h < 0$$

Capotamento:

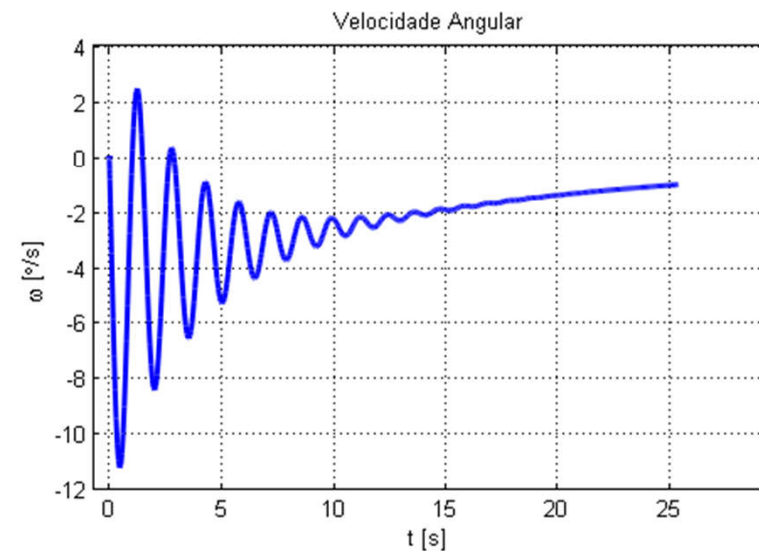
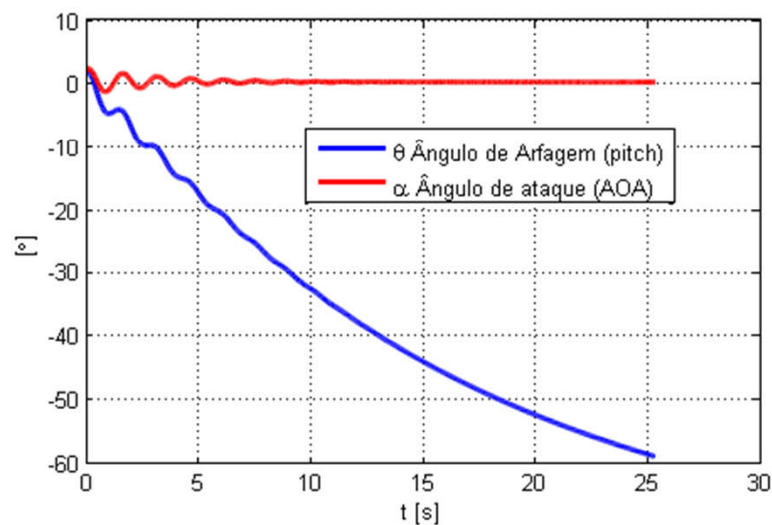
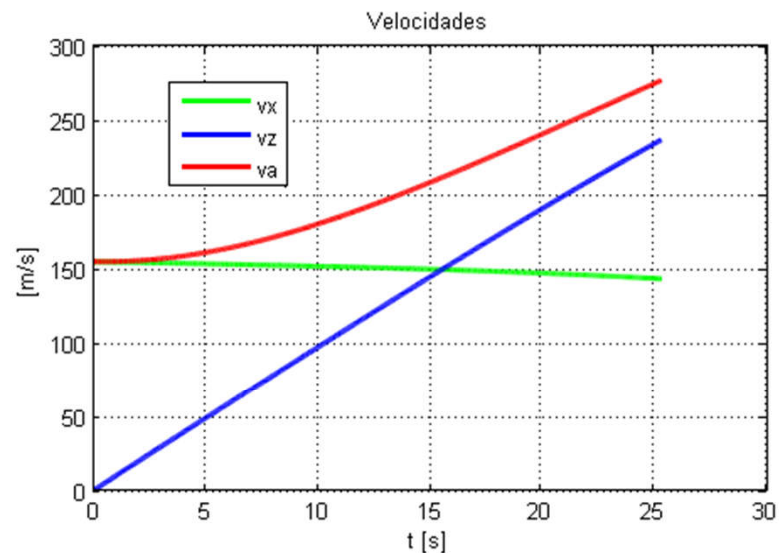
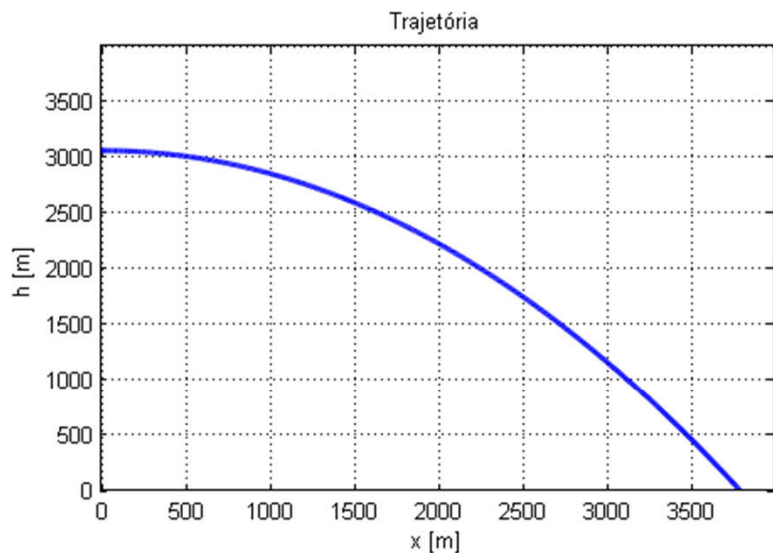
$$|\alpha| > 30^\circ$$

Divergência:

$$t > 5 \text{ minutos}$$

AA-811 – Simulação e Controle de Artefatos Bélicos

Simulações Balísticas 3DOF



Tempo total: 25.26 s

Bomb-range: 3781.84 m

Ângulo de impacto: 31.2°

ATIVIDADES SIMULAÇÃO BALÍSTICA 3DOF

1. (3,0) Termine “`balistico_3dof`” e “`sab_air_simple`”.
2. (1,0) Calcule por “`sab_air_simple`” a atmosfera à 10 000 ft.
3. (0,5) Calcule a pressão dinâmica no início da simulação.
4. (1,5) Faça a análise da segurança da separação entre a bomba e a aeronave lançadora. Considere vários aspectos.
5. (2,0) Explique a curva de velocidade total quando a velocidade de lançamento for dobrada de 300 para 600 knots.
6. Sobre o comportamento em arfagem:
 - a) (1,0) Meça o período da oscilação pelos gráficos.
 - b) (1,0) Calcule o mesmo período pelas fórmulas dinâmicas.
Dica: Aula 3 → “Massa-Mola-Amortecedor” → obter ω_n

TRAJETÓRIA DA AERONAVE

Consideraremos o lançamento a baixa altura de bombas (300 ft)

Aeronave lançadora realiza o lançamento e então inicia uma manobra de subida com fator de carga de 4g.

Modelagem da aeronave sem arfagem e sem ângulo de ataque (**2DOF**), com aplicação apenas da aceleração de fator de carga.

Por causa do tempo reação, a aeronave demora 1,0 segundos para atingir este fator de carga. (interpolação linear)

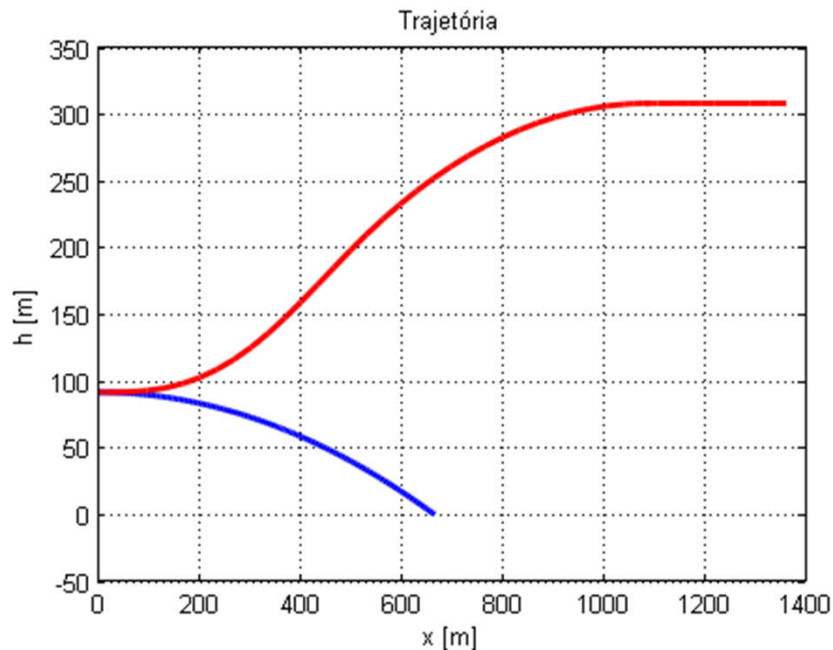
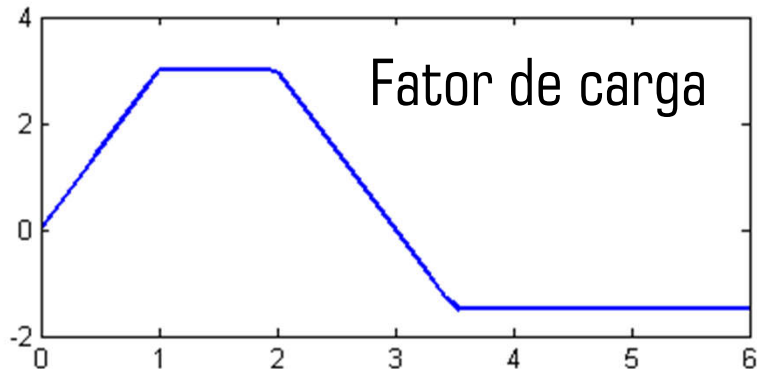
Com 3.0 segundos de simulação, uma manobra de nivelamento de -0,5g é iniciada, com tempo de reação de 0,5 segundos.

Simule o voo da aeronave do lançamento até 10 segundos.

AA-811 – Simulação e Controle de Artefatos Bélicos

Simulações Balísticas 3DOF

TRAJETÓRIA DA AERONAVE



```
function dsdt = fac(t, s)

% expande a variável de stados
x = s(1); z = s(2);
vx = s(3); vz = s(4);

% ângulo de arfagem
[g, T, P, rho, a] = AirLocalParameters(-z, 0);
theta = atan(- vz / vx);

% fator de carga
nz = interp1( [0.0  1.0  2.0  3.0  3.5  5.0], ...
              [0.0  3.0  3.0  0.0 -1.5 -1.5], ...
              t, 'linear', 'extrap');

if (theta < 0)
    nz = 0;
end

% aceleração de manobra
ax = -nz*g*sin(theta);
az = -nz*g*cos(theta);

% preenche a variação da variável de estados
dsdt = [vx; vz; ax; az];

end
```


FRAGMENTOS

Detonação no solo da bomba gera fragmentos. Plote a trajetória.
Obtenha a posição e o tempo da detonação.

Considere um único tipo de fragmento de:

Massa: 110 gramas

Velocidade inicial: 2071 m/s

Área de referência: 0,00084 m²

Coeficiente de arrasto: $C_d = 0.54$

Ângulo de ejeção: todos os ângulos entre 10° e 170°,
amostrando a cada 10°

Marque a posição a cada segundo de cada fragmento e da aeronave após a detonação.

AA-811 – Simulação e Controle de Artefatos Bélicos

Simulações Balísticas 3DOF

